

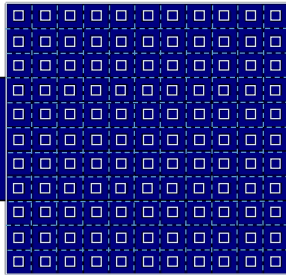
# Vibrations des structures périodiques : contribution à la modélisation des bandes interdites de vibrations

Yu CONG  
MCF, Université d'Evry

# Analyse vibratoire par la bande interdite de vibration

## Bande interdite de vibration

Fréquence dans une bande interdite



Fréquence dans une bande passante

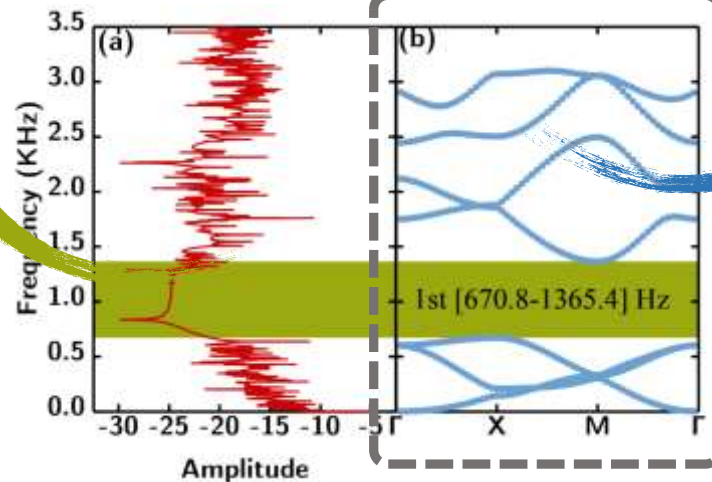
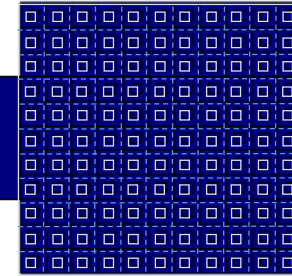
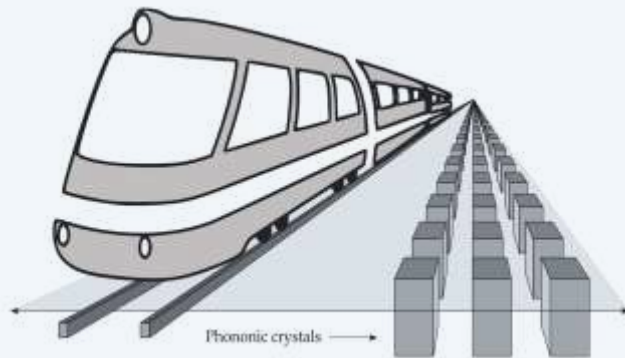
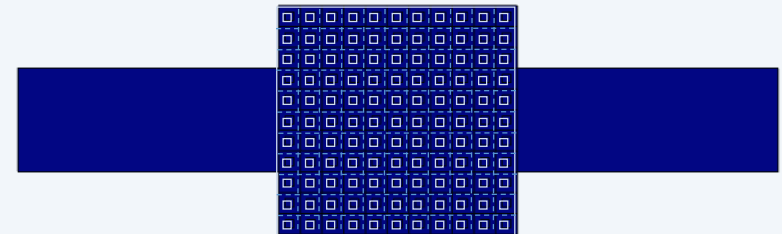
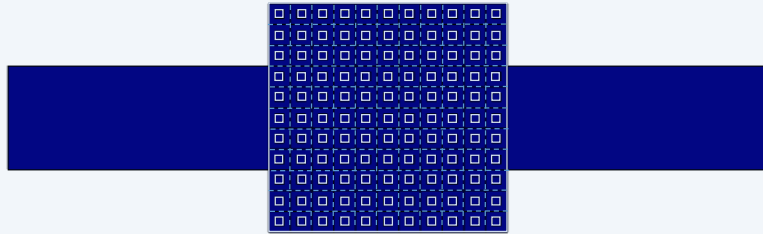


Diagramme des bandes interdites

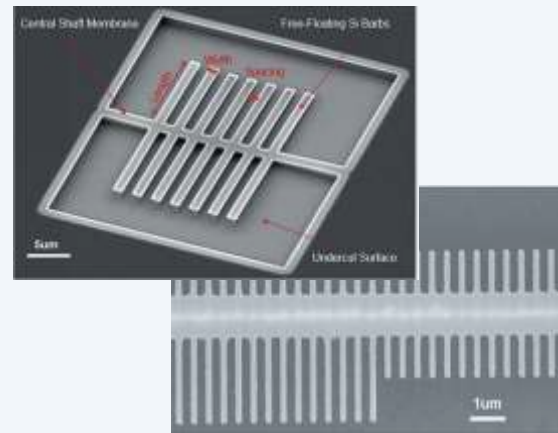
# Analyse vibratoire par la bande interdite de vibration

## Applications des structures à bande interdites de vibration

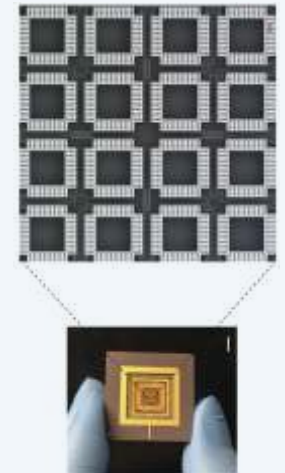


Albino C et al. *ES*, 2019

Application en génie civil pour l'absorption des vibrations



Lees J et. *PS*, 2023



Wei W et. *Nature*, 2022

Applications en nano mécanique et nano électromécanique.

## Comment calculer des bandes interdites pour une structure périodique ?

- Par approche numérique : méthode des éléments finis

*Éléments finis de micro plaque Mindlin aux couples des contraintes*

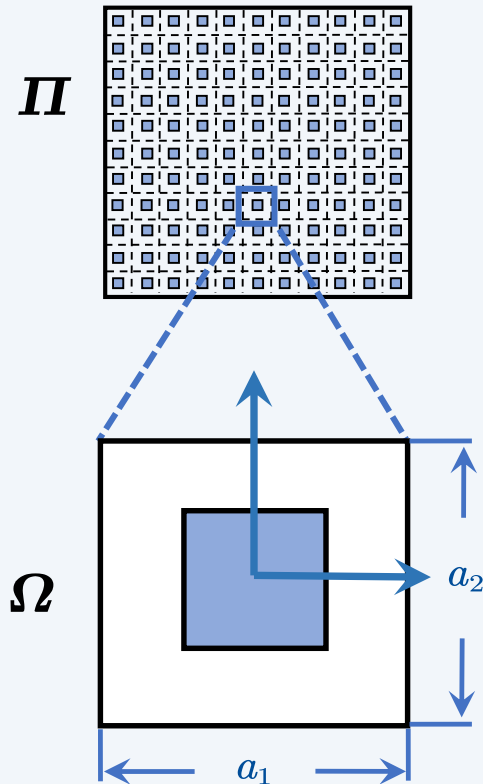
- Par approche analytique ou semi analytique : Décomposition en Ondes Planes (DOP)

*Méthode de décomposition en ondes planes utilisant rasterisation (DOP-R)*

## *Approche numérique*

**Éléments finis de micro plaque Mindlin aux couples des contraintes pour le calcul des bandes interdites de vibration des micro structures périodiques**

# Bandes interdites par micro-plaques Mindlin aux couples des contraintes



Elasticité aux couples des contraintes

$$U = \frac{1}{2} \int_{\Omega} (\boldsymbol{\sigma} : \boldsymbol{\varepsilon} + \mathbf{m} : \boldsymbol{\chi}) dV$$

Relations géométriques

$$\boldsymbol{\varepsilon} = \frac{1}{2} (\nabla \mathbf{u} + (\nabla \mathbf{u})^T), \quad \boldsymbol{\chi} = \frac{1}{2} (\nabla \boldsymbol{\theta} + (\nabla \boldsymbol{\theta})^T), \quad \text{avec } \boldsymbol{\theta} = \frac{1}{2} \nabla \times \mathbf{u}$$

Relations de comportement

$$\boldsymbol{\sigma} = \lambda \text{tr} \boldsymbol{\varepsilon} \mathbf{I} + 2\mu \boldsymbol{\varepsilon}, \quad \mathbf{m} = 2\mu l^2 \boldsymbol{\chi}$$

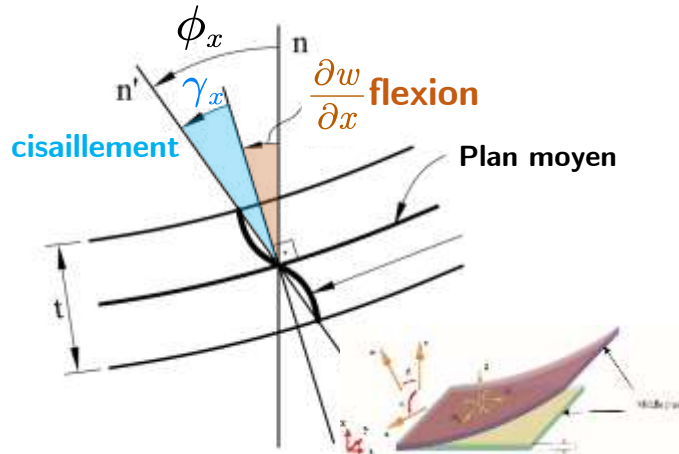
Périodicité de la cellule élémentaire  $\Omega$

$$\lambda(\mathbf{r} + n \mathbf{a}_i) = \lambda(\mathbf{r}), \quad \mu(\mathbf{r} + n \mathbf{a}_i) = \mu(\mathbf{r}) \quad \text{et} \quad \rho(\mathbf{r} + n \mathbf{a}_i) = \rho(\mathbf{r}), \quad i = 1, 2$$

Problème de vibration de la cellule élémentaire

$$\begin{cases} \int_T \int_{\Omega} (\delta \boldsymbol{\varepsilon} : \boldsymbol{\sigma} + \delta \boldsymbol{\chi} : \mathbf{m}) dV dt = \int_T \int_{\Omega} \rho \ddot{\mathbf{u}} \cdot \delta \ddot{\mathbf{u}} dV dt \\ \mathbf{u}(\mathbf{r} + \mathbf{a}_i, \mathbf{k}) = e^{i(\mathbf{k} \cdot \mathbf{a}_i)} \mathbf{u}_k(\mathbf{r}) \end{cases}$$

# Bandes interdites par micro-plaques Mindlin aux couples des contraintes



## Cinématique Mindlin :

$$u(x, y, z) = u_0(x, y) - z\phi_x(x, y)$$

$$v(x, y, z) = v_0(x, y) - z\phi_y(x, y)$$

$$w(x, y, z) = w(x, y)$$

$$\phi_x = \frac{\partial w}{\partial x} + \gamma_x$$

$$\phi_y = \frac{\partial w}{\partial y} + \gamma_y$$

flexion + cisaillement

## Hypothèses modèle Mindlin

- Plaque **épaisse** avec épaisseur constante.
- Section **droite** mais **pas nécessairement perpendiculaire** la ligne moyenne  
(Rotation = flexion + cisaillement)

## Pour une micro-plaque Mindlin

Couples des contraintes

$$\boldsymbol{\varepsilon} = \frac{1}{2}(\nabla \mathbf{u} + (\nabla \mathbf{u})^T) \quad \mathbf{u} : \text{déplacement}$$

$$\boldsymbol{\chi} = \frac{1}{2}(\nabla \boldsymbol{\theta} + (\nabla \boldsymbol{\theta})^T) \quad \boldsymbol{\theta} : \text{gradient de } \mathbf{u}$$

## Élément plaque Mindlin classique (C0)

$$\mathbf{u}^{(q)} = [u_0^{(1)}, v_0^{(1)}, w^{(1)}, \phi_x^{(1)}, \phi_y^{(1)}]$$

5 DDL nœuds

vs.

## Élément micro-plaque Mindlin (C1)

$$\mathbf{u}^{(q)} = [u_0^{(1)}, v_0^{(1)}, w^{(1)}, \phi_x^{(1)}, \phi_y^{(1)}, \frac{\partial u_0^{(1)}}{\partial x}, \frac{\partial v_0^{(1)}}{\partial x}, \frac{\partial w^{(1)}}{\partial x}, \frac{\partial \phi_x^{(1)}}{\partial x}, \frac{\partial \phi_y^{(1)}}{\partial x}, \frac{\partial u_0^{(1)}}{\partial y}, \frac{\partial v_0^{(1)}}{\partial y}, \frac{\partial w^{(1)}}{\partial y}, \frac{\partial \phi_x^{(1)}}{\partial y}, \frac{\partial \phi_y^{(1)}}{\partial y}, \dots \dots]$$

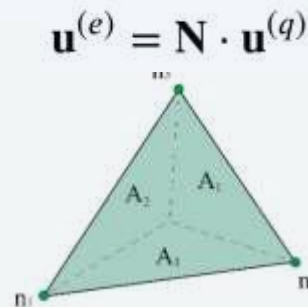
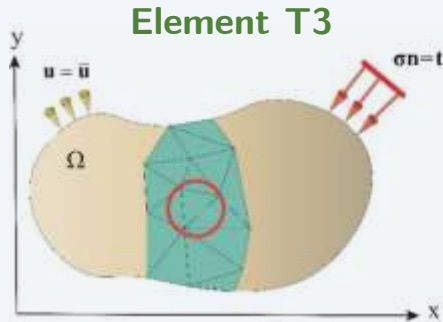
15 DDL nœuds (qui ne sont pas indépendants)

# Bandes interdites par micro-plaques Mindlin aux couples des contraintes

Les 15 DDL nodaux de l'élément micro-plaque Mindlin ne sont pas indépendants

$$\mathbf{u}^{(q)} = \left[ u_0^{(1)}, v_0^{(1)}, w^{(1)}, \phi_x^{(1)}, \phi_y^{(1)}, \frac{\partial u_0^{(1)}}{\partial x}, \frac{\partial v_0^{(1)}}{\partial x}, \frac{\partial w^{(1)}}{\partial x}, \frac{\partial \phi_x^{(1)}}{\partial x}, \frac{\partial \phi_y^{(1)}}{\partial x}, \frac{\partial u_0^{(1)}}{\partial y}, \frac{\partial v_0^{(1)}}{\partial y}, \frac{\partial w^{(1)}}{\partial y}, \frac{\partial \phi_x^{(1)}}{\partial y}, \frac{\partial \phi_y^{(1)}}{\partial y}, \dots \right]$$

Ces 15 DDL nodaux seront interpolé par élément, à 5 DDL élémentaires



Interpolation assurant la continuité C1 aux noeuds

$$u_0^{(e)} = \sum_{i=1}^3 N_i u_{0i} + N_{is} \frac{\partial u_{0i}}{\partial s} + N_{it} \frac{\partial u_{0i}}{\partial t}$$

$$v_0^{(e)} = \sum_{i=1}^3 N_i v_{0i} + N_{is} \frac{\partial v_{0i}}{\partial s} + N_{it} \frac{\partial v_{0i}}{\partial t}$$

$$w^{(e)} = \sum_{i=1}^3 N_i w_i + N_{is} \frac{\partial w_i}{\partial s} + N_{it} \frac{\partial w_i}{\partial t}$$

$$\phi_x^{(e)} = \sum_{i=1}^3 N_i \phi_{xi} + N_{is} \frac{\partial \phi_{xi}}{\partial s} + N_{it} \frac{\partial \phi_{xi}}{\partial t}$$

$$\phi_y^{(e)} = \sum_{i=1}^3 N_i \phi_{yi} + N_{is} \frac{\partial \phi_{yi}}{\partial s} + N_{it} \frac{\partial \phi_{yi}}{\partial t}$$

5 DDL

$$\mathbf{N} = \begin{bmatrix} N_1 & 0 & 0 & 0 & 0 & N_{1s} & 0 & 0 & 0 & 0 & N_{1t} & 0 & 0 & 0 & 0 & \dots \\ 0 & N_1 & 0 & 0 & 0 & 0 & N_{1s} & 0 & 0 & 0 & 0 & N_{1t} & 0 & 0 & 0 & \dots \\ 0 & 0 & N_1 & 0 & 0 & 0 & 0 & N_{1s} & 0 & 0 & 0 & 0 & N_{1t} & 0 & 0 & \dots \\ 0 & 0 & 0 & N_1 & 0 & 0 & 0 & 0 & N_{1s} & 0 & 0 & 0 & 0 & N_{1t} & 0 & \dots \\ 0 & 0 & 0 & 0 & N_1 & 0 & 0 & 0 & 0 & N_{1s} & 0 & 0 & 0 & 0 & N_{1t} & \dots \end{bmatrix}$$

5 DDL

15 DDL

# Bandes interdites par micro-plaques Mindlin aux couples des contraintes

Avec la matrice d'interpolation  $[N]$ , on compose les matrices de déplacement-déformation  $[B_\varepsilon]$  et  $[B_\chi]$  qui permettent de calculer les couples de contraintes

$$B_\varepsilon = \begin{bmatrix} \frac{\partial}{\partial x} & 0 & 0 & 0 & 0 \\ 0 & 0 & 0 & \frac{\partial}{\partial x} & 0 \\ 0 & \frac{\partial}{\partial y} & 0 & 0 & 0 \\ 0 & 0 & 0 & 0 & \frac{\partial}{\partial y} \\ \frac{\partial}{\partial y} & \frac{\partial}{\partial x} & 0 & 0 & 0 \\ 0 & 0 & 0 & \frac{\partial}{\partial y} & \frac{\partial}{\partial x} \\ 0 & 0 & \frac{\partial}{\partial x} & -1 & 0 \\ 0 & 0 & \frac{\partial}{\partial y} & 0 & -1 \end{bmatrix} \cdot N$$

$$B_\chi = \begin{bmatrix} 0 & 0 & \frac{\partial^2}{\partial y \partial x} & 0 & \frac{\partial}{\partial x} \\ 0 & 0 & \frac{\partial^2}{\partial x \partial y} & \frac{\partial}{\partial y} & 0 \\ 0 & 0 & 0 & -\frac{\partial}{\partial y} & \frac{\partial}{\partial x} \\ 0 & 0 & \frac{\partial^2}{\partial y^2} - \frac{\partial^2}{\partial x^2} & -\frac{\partial}{\partial x} & \frac{\partial}{\partial y} \\ -\frac{\partial^2}{\partial x \partial y} & \frac{\partial^2}{\partial x^2} & 0 & 0 & 0 \\ 0 & 0 & 0 & -\frac{\partial^2}{\partial y^2} & \frac{\partial^2}{\partial x \partial y} \\ -\frac{\partial^2}{\partial y^2} & \frac{\partial^2}{\partial x \partial y} & 0 & 0 & 0 \\ 0 & 0 & 0 & -\frac{\partial^2}{\partial y \partial x} & \frac{\partial^2}{\partial x^2} \end{bmatrix} \cdot N$$

D'où le système de l'équation d'équilibre

$$\int_A [(\delta \mathbf{u}^{(e)})^T \mathbf{B}_\varepsilon^T \hat{\mathbf{D}}_\varepsilon \mathbf{B}_\varepsilon \mathbf{u}^{(e)} + (\delta \mathbf{u}^{(e)})^T \mathbf{B}_\chi^T \hat{\mathbf{D}}_\chi \mathbf{B}_\chi \mathbf{u}^{(e)}] dA = \int_\Omega \rho \delta \mathbf{u}^{(e)T} \ddot{\mathbf{u}}^{(e)} dA$$

Ce qui donne le problème modal

$$\mathbf{u} = \mathbf{u}_0 e^{i\omega t}$$

$$(\mathbf{K} - \omega^2 \mathbf{M}) \mathbf{u}_0 = \mathbf{0}$$

avec  $\mathbf{K} = \int_A \mathbf{B}_\varepsilon^T \hat{\mathbf{D}}_\varepsilon \mathbf{B}_\varepsilon dA + \int_A \mathbf{B}_\chi^T \hat{\mathbf{D}}_\chi \mathbf{B}_\chi dA$

$$\mathbf{M} = \int_A \mathbf{N}^T \rho \mathbf{N} dA$$

+ les C.L. de type Bloch pour l'analyse vibratoire.

# Bandes interdites par micro-plaques Mindlin aux couples des contraintes

Le théorème de Bloch indique que :

La **solution** d'une équation d'onde (mécanique, électromagnétique, Eq. Schrödinger, etc.) peut être exprimée sous la forme d'une **fonction périodique**, modulée par une **onde plane**.

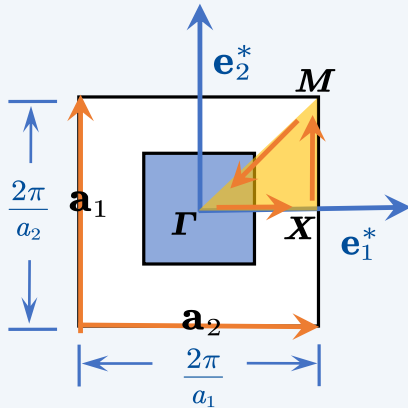
$$\psi(\mathbf{r}, \mathbf{k}) = e^{i(\mathbf{k} \cdot \mathbf{r})} u(\mathbf{r})$$

Correction de phase  
par une onde plane

Fonction associée à la  
périodicité du milieu

\*  $\mathbf{r}$  est le vecteur de position,  $\mathbf{k}$  le vecteur d'onde de Bloch

Pour la solution d'une onde mécanique et pour un milieu périodique, nous avons



$$\mathbf{u}(\mathbf{r}, \mathbf{k}) = e^{i(\mathbf{k} \cdot \mathbf{r})} \mathbf{u}_k(\mathbf{r})$$

$$\mathbf{u}(\mathbf{r} + \mathbf{a}_i, \mathbf{k}) = e^{i(\mathbf{k} \cdot \mathbf{a}_i)} e^{i(\mathbf{k} \cdot \mathbf{r})} \mathbf{u}_k(\mathbf{r} + \mathbf{a}_i)$$

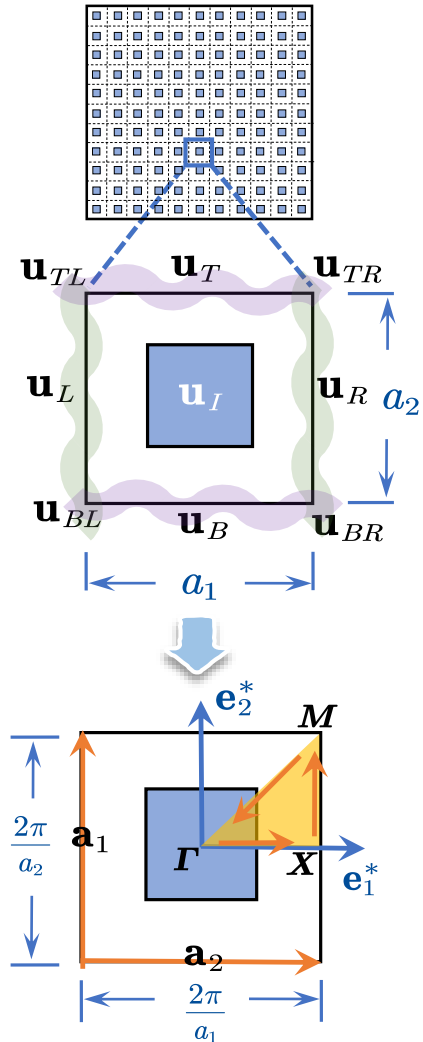
$$\mathbf{u}(\mathbf{r} + \mathbf{a}_i, \mathbf{k}) = e^{i(\mathbf{k} \cdot \mathbf{a}_i)} \mathbf{u}_k(\mathbf{r})$$

correction de phase + périodicité

$\mathbf{a}_i$  : vecteurs du réseau réciproque

# Bandes interdites par micro-plaques Mindlin aux couples des contraintes

**Conditions limites** respectant le théorème de Bloch. Les vecteurs d'onde de Bloch  $\mathbf{k}$  sont déterminés en parcourant la frontière de la zone de Brillouin irréductible  $\Gamma$ -X-M- $\Gamma$



$$\mathbf{u}(\mathbf{r} + \mathbf{a}_i, \mathbf{k}) = e^{i(\mathbf{k} \cdot \mathbf{a}_i)} \mathbf{u}_k(\mathbf{r})$$

$$\mathbf{u} = \begin{bmatrix} \mathbf{u}_I \\ \mathbf{u}_L \\ \mathbf{u}_R \\ \mathbf{u}_B \\ \mathbf{u}_T \\ \mathbf{u}_{BL} \\ \mathbf{u}_{BR} \\ \mathbf{u}_{TR} \\ \mathbf{u}_{TL} \end{bmatrix} = \begin{bmatrix} \mathbf{I} & 0 & 0 & 0 \\ 0 & \mathbf{I} & 0 & 0 \\ 0 & e^{i(\mathbf{k} \cdot \mathbf{a}_1)} \mathbf{I} & 0 & 0 \\ 0 & 0 & \mathbf{I} & 0 \\ 0 & 0 & e^{i(\mathbf{k} \cdot \mathbf{a}_2)} \mathbf{I} & 0 \\ 0 & 0 & 0 & \mathbf{I} \\ 0 & 0 & 0 & 0 \\ 0 & 0 & 0 & e^{i(\mathbf{k} \cdot \mathbf{a}_1)} \mathbf{I} \\ 0 & 0 & 0 & e^{i(\mathbf{k} \cdot (\mathbf{a}_1 + \mathbf{a}_2))} \mathbf{I} \\ 0 & 0 & 0 & e^{i(\mathbf{k} \cdot \mathbf{a}_2)} \mathbf{I} \end{bmatrix} \begin{bmatrix} \mathbf{u}_I \\ \mathbf{u}_L \\ \mathbf{u}_B \\ \mathbf{u}_{BL} \end{bmatrix} = \mathbf{P} \tilde{\mathbf{u}}$$

Ainsi le problème modal en tenant compte des C.L. s'écrit

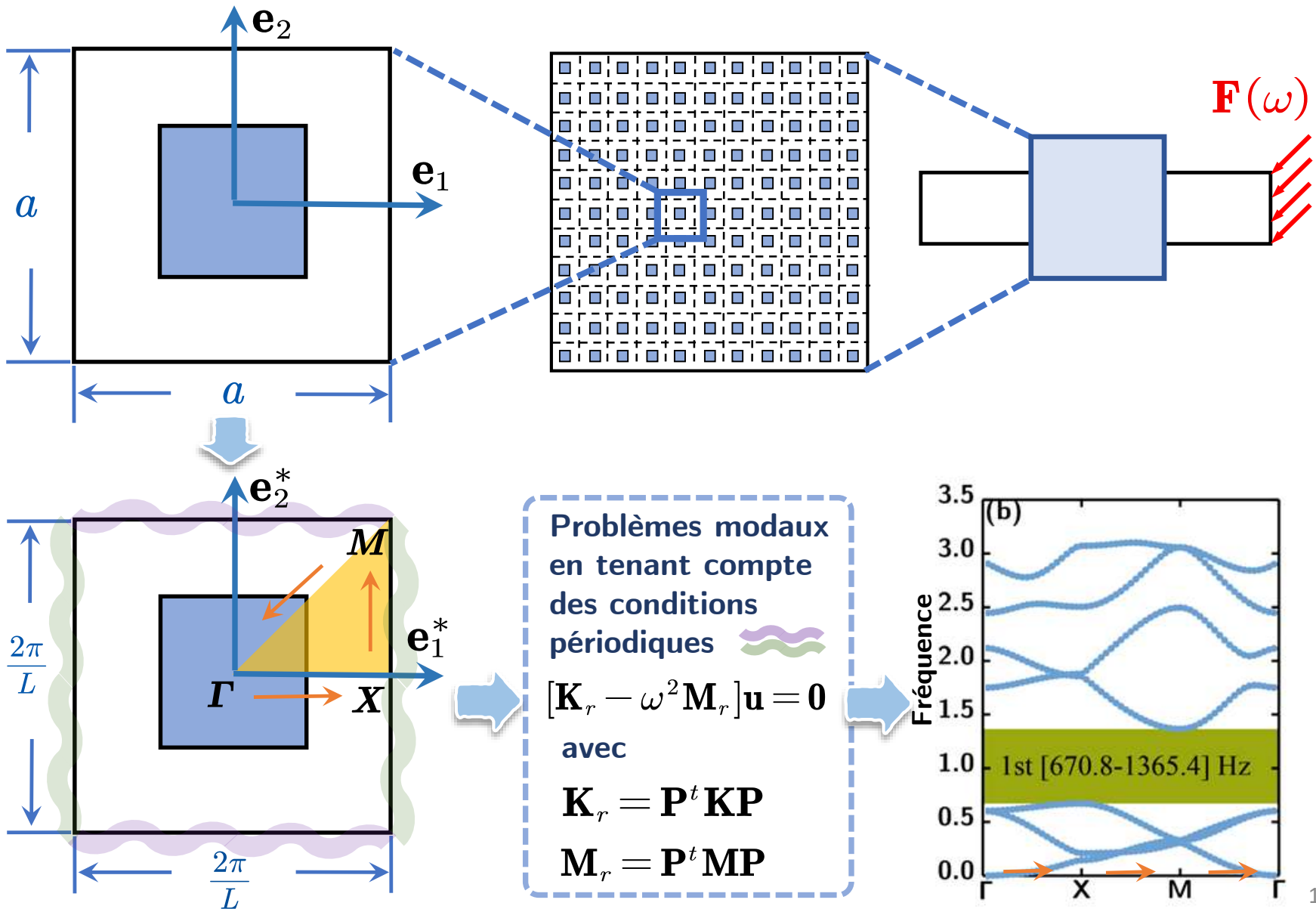
$$[\mathbf{K}_r - \omega^2 \mathbf{M}_r] \mathbf{u} = \mathbf{0}$$

$$\mathbf{K}_r = \mathbf{P}^t \mathbf{K} \mathbf{P}$$

$$\mathbf{M}_r = \mathbf{P}^t \mathbf{M} \mathbf{P}$$

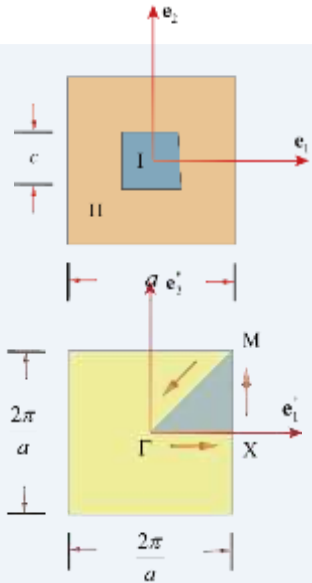
# Analyse vibratoire par la bande interdite de vibration

## Calcul des bandes interdites pour un problème périodique



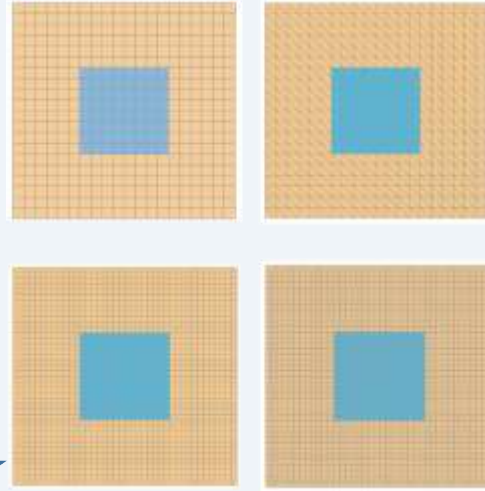
*Exemples numériques*

# Cas 1 : Validation – Comparaison avec résultats semi-analytiques

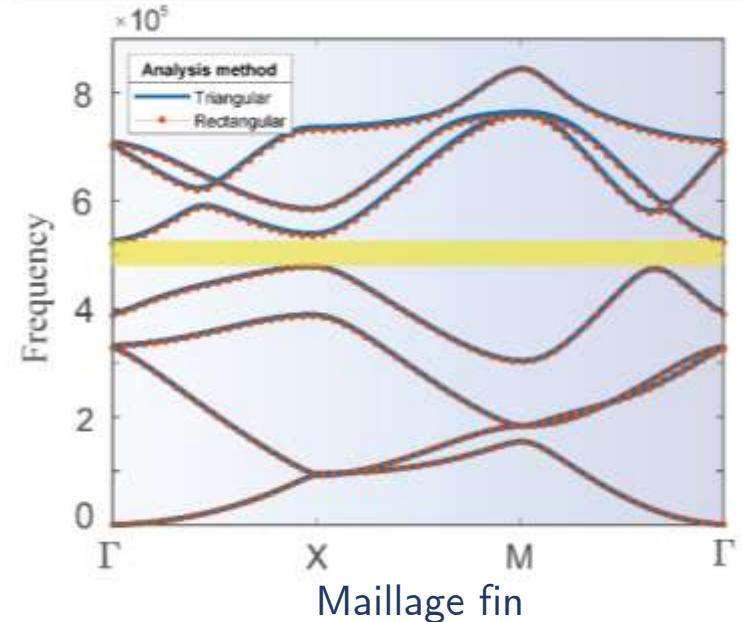
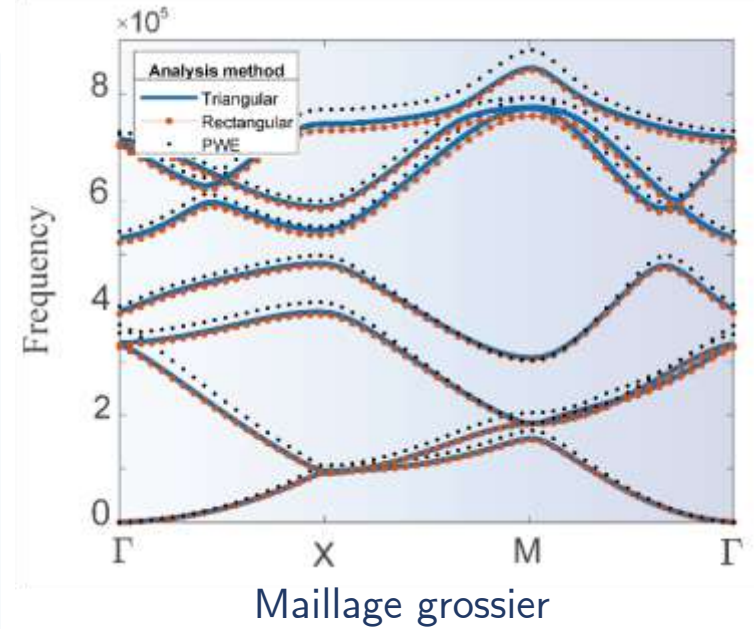


Cellule unitaire et la zone de Brillouin

Raffinement du maillage



Type d'éléments (Q4, T3)



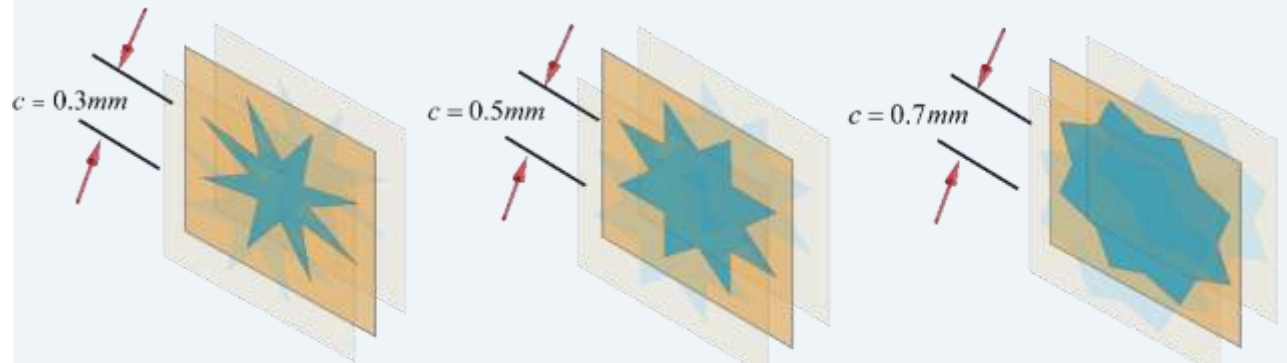
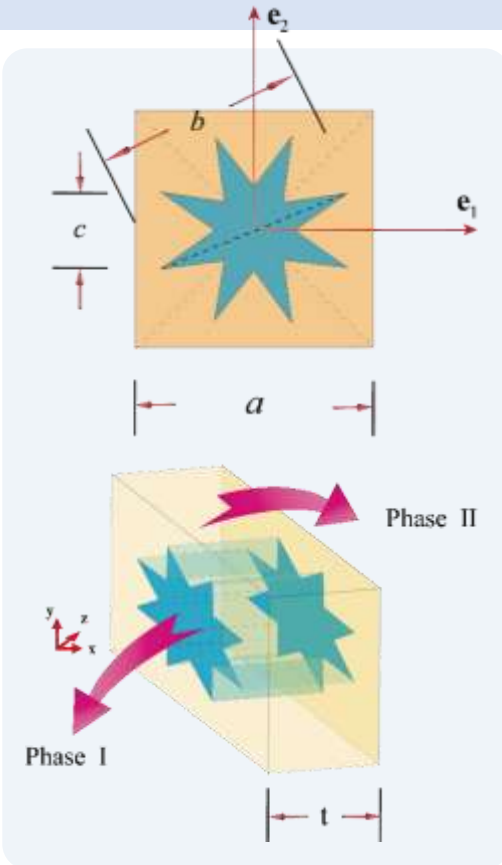
Comparaison avec la Méthode de Decomposition en Onde Plane (DOP)

$$\alpha_{\mathbf{G}_{(M,N)}} = \begin{cases} V_f^{(I)} \alpha_{(I)} + (1 - V_f^{(I)}) \alpha_{(II)} & \text{for } \mathbf{G}_{(M,N)} = 0 \\ (\alpha_I - \alpha_{II}) F(\mathbf{G}_{(M,N)}) & \text{for } \mathbf{G}_{(M,N)} \neq 0 \end{cases}$$

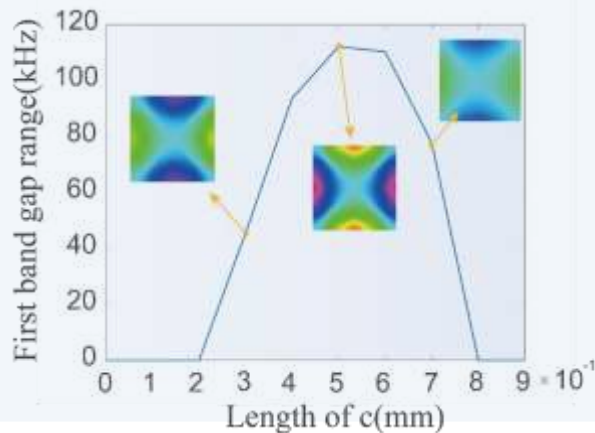
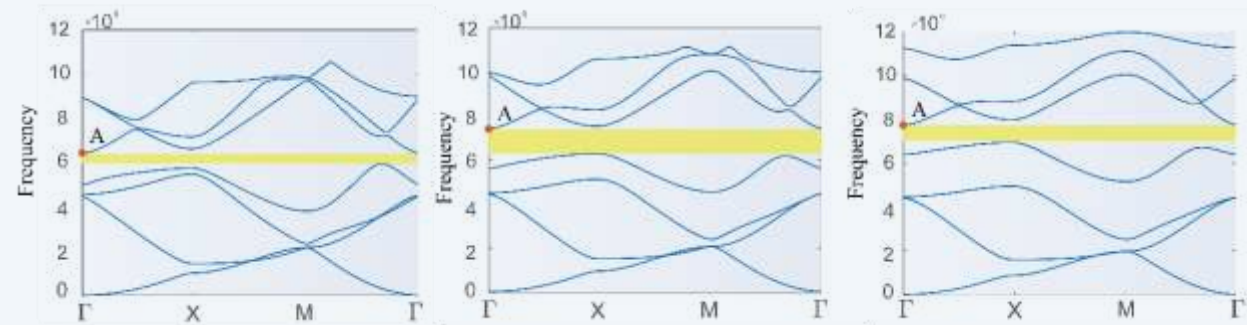
$$F(\mathbf{G}_{(M,N)}) = \begin{cases} \frac{2d}{a^2 G_x} \sin\left(\frac{G_x d}{2}\right) & \text{for } G_x \neq 0, G_y = 0 \\ \frac{2d}{a^2 G_y} \sin\left(\frac{G_y d}{2}\right) & \text{for } G_x = 0, G_y \neq 0 \\ \frac{4}{a^2 G_x G_y} \sin\left(\frac{G_x d}{2}\right) \sin\left(\frac{G_y d}{2}\right) & \text{for } G_x \neq 0, G_y \neq 0 \end{cases}$$

Zhang, Gao, Ding. Acta Mechanica, 2018

## Cas 2 : Adaptabilité éléments T3 à des géométries complexes



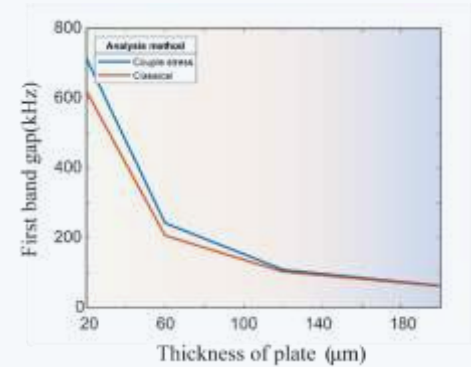
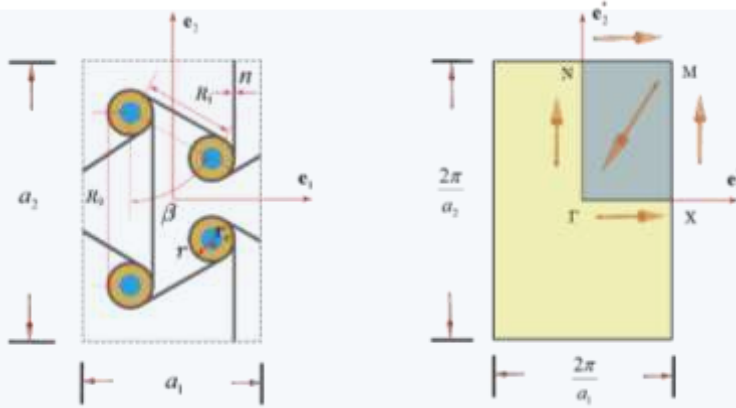
Avec l'augmentation du paramètre  $c$ , donc le volume de l'inclusion



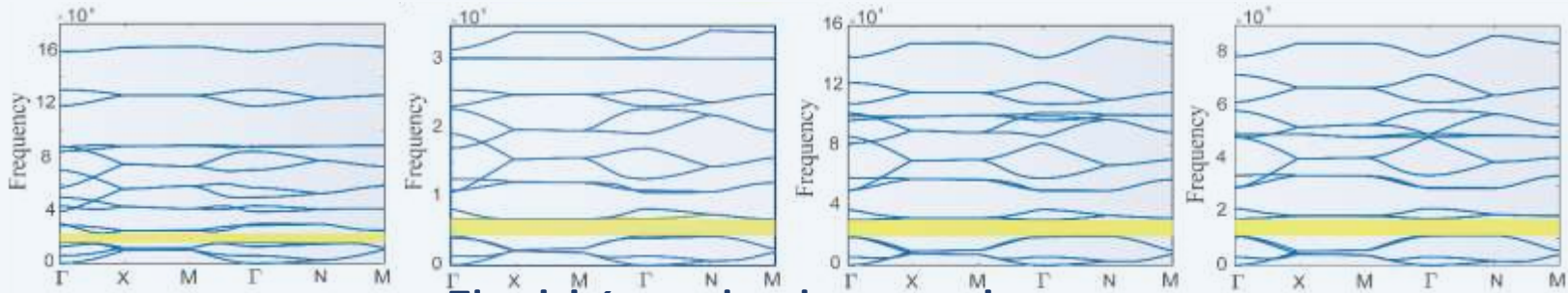
- T3 elements exhibit good adaptability to complex boundaries
- we deduce that the larger band gap originates from the energy absorbing vibration of the matrix

# Cas 3 : Adaptabilité éléments T3 à des géométries complexes

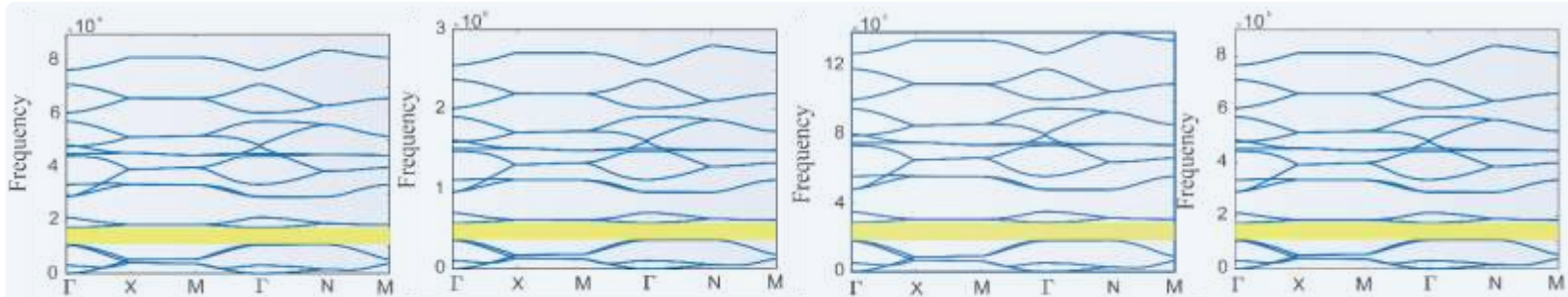
Structures chirales



Avec l'augmentation de l'épaisseur de  $20 \mu\text{m}$  à  $200 \mu\text{m}$



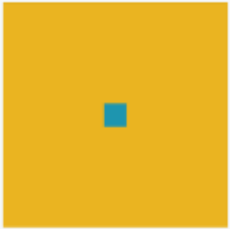
Elasticité couples des contraintes



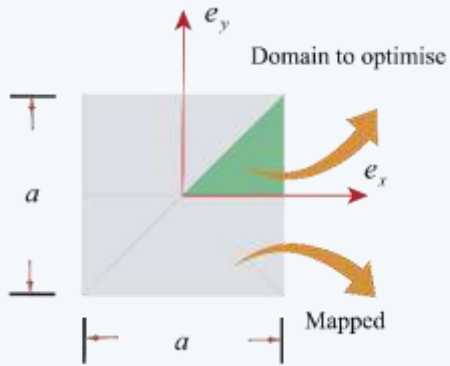
Elasticité classique

# Application : Mindlin micro-plaque en optimisation des bandes interdites

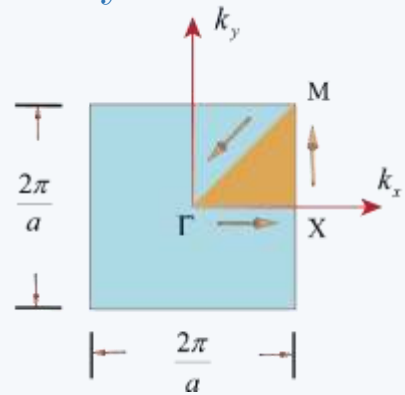
## Initial model



- Initial unit cell

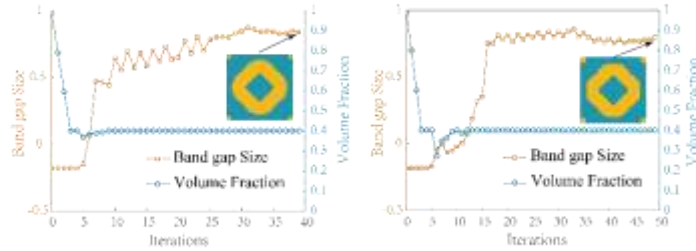


- Symmetrical map

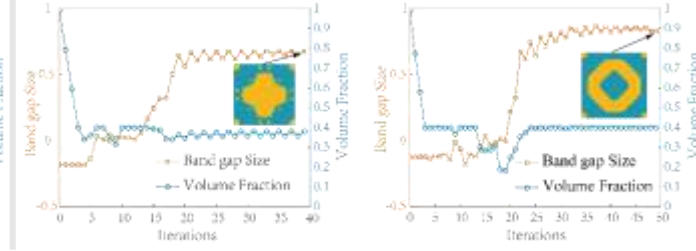


- IBZ

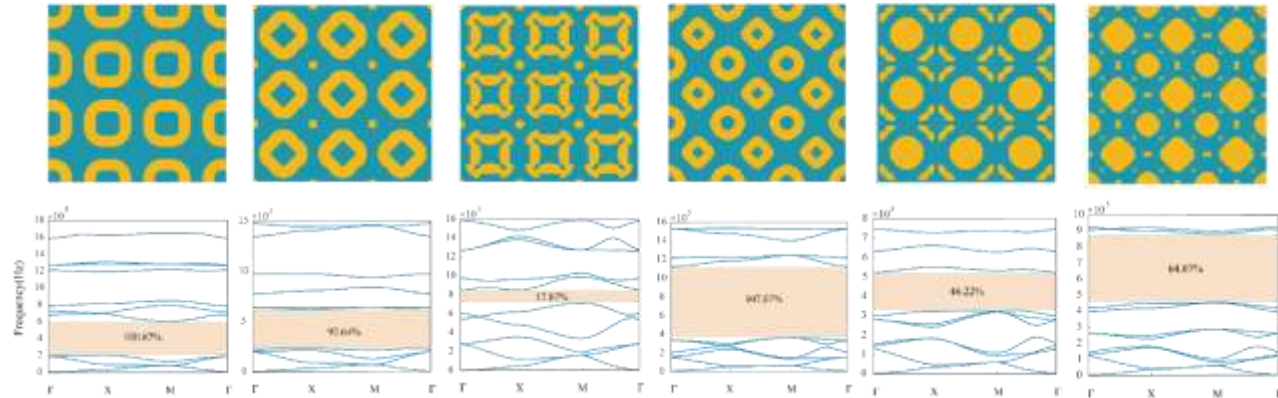
- 200μm (Classical & CS)



- 20μm (Classical & CS)

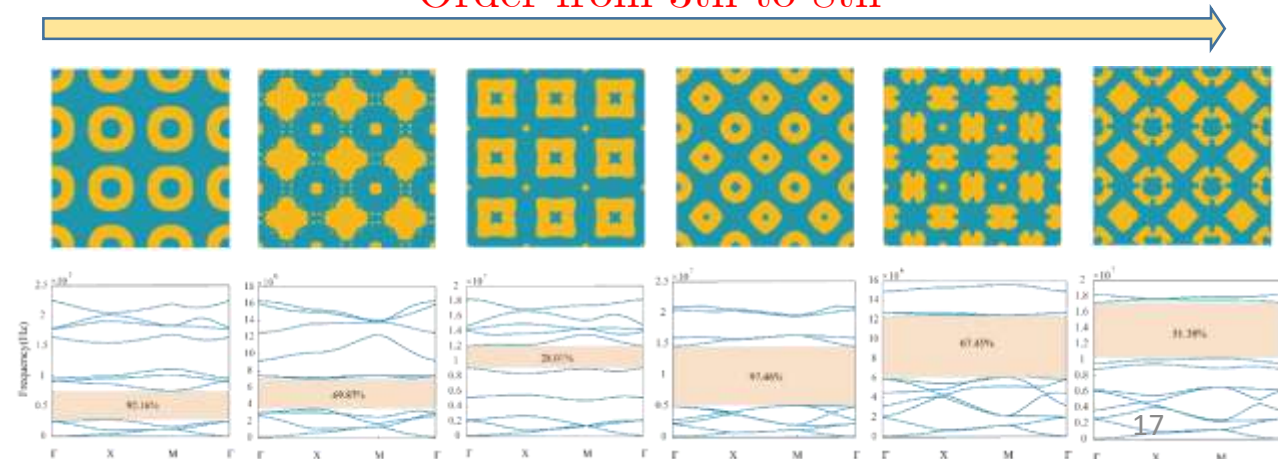


- 200μm



Order from 3th to 8th

- 20μm



*Approche semi-analytique*

Méthode de décomposition en onde plane basée sur la technique de *rastérisation* (DOP.R)

# Bandes interdites par la décomposition en onde plane (DOP)

**Méthode de décomposition en onde plane (DOP**, en anglais *plane wave expansion method*, PWE), développée en électromagnétisme pour résoudre les équations de Maxwell, est adaptée par les mécaniciens pour calculer la structure de bande pour des cristaux phononiques.

Reprenons le **théorème de Bloch**, la solution d'une onde mécanique s'écrit

$$\mathbf{u}(\mathbf{r}) = e^{i(\mathbf{k} \cdot \mathbf{r})} \mathbf{u}_k(\mathbf{r}) = e^{i(\mathbf{k} \cdot \mathbf{r})} \left[ \sum_{\mathbf{G}_m} \mathbf{u}_{\mathbf{G}_m} e^{i(\mathbf{G}_m \cdot \mathbf{r})} \right]$$

correction de phase

$\mathbf{u}_k$  en série de Fourier, car fonction périodique

$\mathbf{u}_k$  en série de Fourier

La solution temporelle  $\mathbf{u}(\mathbf{r}, t)$  s'écrit

$$\mathbf{u}(\mathbf{r}, t) = e^{i(\mathbf{k} \cdot \mathbf{r})} \left[ \sum_{\mathbf{G}_m} \mathbf{u}_{\mathbf{G}_m} e^{i(\mathbf{G}_m \cdot \mathbf{r})} \right] e^{-i\omega t}$$

terme temporel

La **distribution du matériau**  $\alpha(\mathbf{r})$ , également périodique, est exprimée en termes de série de Fourier

$$\alpha(\mathbf{r}) = \sum_{\mathbf{G}_M} \alpha_{\mathbf{G}_M} e^{i\mathbf{G}_M \cdot \mathbf{r}} \quad (\alpha = \rho, \mu, \lambda \dots)$$

# Bandes interdites par la décomposition en onde plane (DOP)

Une fois que  $\mathbf{u}(\mathbf{r}, t)$  et  $\alpha(\mathbf{r})$  sont exprimés en série de Fourier, c'est-à-dire

**Le déplacement,  $\mathbf{u}(\mathbf{r}, t)$**

$$\mathbf{u}(\mathbf{r}, t) = e^{i(\mathbf{k} \cdot \mathbf{r})} \left[ \sum_{\mathbf{G}_m} \mathbf{u}_{\mathbf{G}_m} e^{i(\mathbf{G}_m \cdot \mathbf{r})} \right] e^{-i\omega t}$$

**Les paramètres matériaux,  $\alpha(\mathbf{r})$**

$$\alpha(\mathbf{r}) = \sum_{\mathbf{G}_M} \alpha_{\mathbf{G}_M} e^{i\mathbf{G}_M \cdot \mathbf{r}} \quad (\alpha = \rho, \mu, \lambda \dots)$$

On introduit  $\mathbf{u}(\mathbf{r}, t)$  et  $\alpha(\mathbf{r})$  dans l'équation d'équilibre, ici, un système de vibration sans amortissement classique

$$\mathbf{M} \ddot{\mathbf{u}} + \mathbf{K} \mathbf{u} = 0$$

Et on obtient, en appliquant le **développement de Laurent**, le problème modal

$$\mathbf{K}_{\mathbf{G}_M - \mathbf{G}_m} \mathbf{u}_{\mathbf{G}_m} - \omega^2 \mathbf{M}_{\mathbf{G}_M - \mathbf{G}_m} \mathbf{u}_{\mathbf{G}_m} = 0$$

Les termes de  $\mathbf{K}_{\mathbf{G}_M - \mathbf{G}_m}$  et de  $\mathbf{M}_{\mathbf{G}_M - \mathbf{G}_m}$  sont déterminés analytiquement, nous prenons l'exemple concret d'une onde *anti-plane*:

$$\rho \ddot{u} + \frac{\partial}{\partial x} \left( \mu \frac{\partial u}{\partial x} \right) + \frac{\partial}{\partial y} \left( \mu \frac{\partial u}{\partial y} \right) = 0$$

En appliquant  $\mathbf{u}(\mathbf{r}, t)$  et  $\alpha(\mathbf{r})$  et avec le développement de Laurent



$$\begin{aligned} & \lim_{N \rightarrow \infty} \sum_{n=-N}^N f_n e^{inx} \lim_{M \rightarrow \infty} \sum_{m=-M}^M g_m e^{imx} \\ &= \lim_{N \rightarrow \infty} \sum_{n=-N}^N \left( \lim_{M \rightarrow \infty} \sum_{m=-M}^M f_{n-m} g_m \right) e^{inx} \end{aligned}$$

On obtient l'expression exacte du problème modal à résoudre

$$\begin{aligned} & [(\mu)_{\mathbf{G}_M - \mathbf{G}_m} (k_y + G_{My})(k_y + G_{my}) \\ & + (\mu)_{\mathbf{G}_M - \mathbf{G}_m} (k_x + G_{Mx})(k_x + G_{mx})] (u)_{\mathbf{G}_m} \\ &= -\omega^2 \rho_{\mathbf{G}_M - \mathbf{G}_m} (u)_{\mathbf{G}_m}, \end{aligned}$$

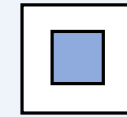
# Bandes interdites par la décomposition en onde plane (DOP)

La distribution du matériau  $\alpha(\mathbf{r})$ , également périodique, est exprimée en termes de série de Fourier

$$\alpha(\mathbf{r}) = \sum_{\mathbf{G}_M} \alpha_{\mathbf{G}_M} e^{i\mathbf{G}_M \cdot \mathbf{r}} \quad (\alpha = \rho, \mu, \lambda \dots)$$

où les coefficients de Fourier  $\alpha_{\mathbf{G}_M}$ , au nombre de  $(2M+1)^2$

$$\alpha_{\mathbf{G}_M} = \frac{1}{A} \int_{\Omega} \alpha(\mathbf{r}) e^{-i\mathbf{G}_M \cdot \mathbf{r}} d\mathbf{r} = \sum_{j=1}^J \alpha_{(j)} F_j(\mathbf{G}_M),$$

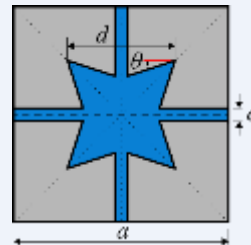
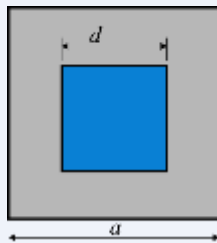


$J$  : le nombre de phase  
 $j = 1, 2$

On identifie la **fonction de forme** de la phase  $j$

$$F_j(\mathbf{G}_M) = \frac{1}{A} \int_{\Omega_j} e^{-i\mathbf{G}_M \cdot \mathbf{r}} d\mathbf{r}$$

La clé de la DOP réside dans la **détermination des fonctions de forme** selon  $\Omega_j$ , la géométrie de la microstructure, par exemple:



$$F(\mathbf{G}_M) = \frac{1}{A} \frac{4}{G_x G_y} \sin\left(\frac{G_x d}{2}\right) \sin\left(\frac{G_y d}{2}\right)$$

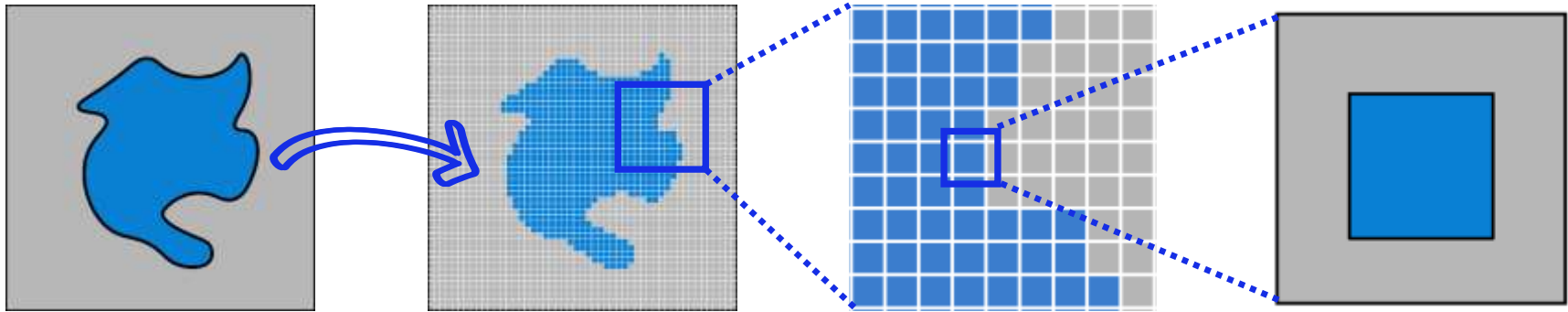
Simple géométrie, simple fonction de forme !

$$\begin{aligned} F(\mathbf{G}_M) = & -\frac{2}{AG_y(G_x + G_y \tan\theta)} \left\{ \cos\left[\frac{d}{2}(G_x + G_y \tan\theta) + \frac{G_y p}{2}\right] - \cos\left(\frac{G_y p}{2}\right) \right\} \\ & -\frac{2}{AG_y(G_x - G_y \tan\theta)} \left\{ -\cos\left[\frac{d}{2}(G_x - G_y \tan\theta) - \frac{G_y p}{2}\right] + \cos\left(\frac{G_y p}{2}\right) \right\} \\ & -\frac{2}{AG_y(G_x + G_y \cot\theta)} \left\{ \cos\left[\frac{r}{2}(G_x + G_y \cot\theta) - \frac{G_y q}{2}\right] - \cos\left[\frac{d}{2}(G_x + G_y \cot\theta) - \frac{G_y q}{2}\right] \right\} \\ & -\frac{2}{AG_y(G_x - G_y \cot\theta)} \left\{ \cos\left[\frac{d}{2}(G_x - G_y \cot\theta) + \frac{G_y q}{2}\right] - \cos\left[\frac{r}{2}(G_x - G_y \cot\theta) + \frac{G_y q}{2}\right] \right\} \\ & -\frac{2}{AG_x(G_y + G_x \cot\theta)} \left\{ \cos\left[\frac{r}{2}(G_y + G_x \cot\theta) - \frac{G_x q}{2}\right] - \cos\left[\frac{p}{2}(G_y + G_x \cot\theta) - \frac{G_x q}{2}\right] \right\} \\ & -\frac{2}{AG_x(G_y - G_x \cot\theta)} \left\{ \cos\left[\frac{p}{2}(G_y - G_x \cot\theta) + \frac{G_x q}{2}\right] - \cos\left[\frac{r}{2}(G_y - G_x \cot\theta) + \frac{G_x q}{2}\right] \right\} \\ & + \frac{4}{AG_x G_y} \left[ \sin\left(\frac{G_x a}{2}\right) \sin\left(\frac{G_y c}{2}\right) + \sin\left(\frac{G_x c}{2}\right) \sin\left(\frac{G_y a}{2}\right) - \sin\left(\frac{G_x r}{2}\right) \sin\left(\frac{G_y c}{2}\right) - \sin\left(\frac{G_x c}{2}\right) \sin\left(\frac{G_y r}{2}\right) \right], \end{aligned}$$

Détermination analytique de la fonction de forme **difficile** face aux **géométries complexes, irrégulières** :  
**Limite de la méthode DOP!**

# Décomposition en onde plane par rastérisation (DOP-R)

L'objectif consiste à **contourner la détermination analytique des fonctions de forme**, nécessaires pour la description géométrique de la microstructure, en utilisant une approximation par la **rastérisation**.



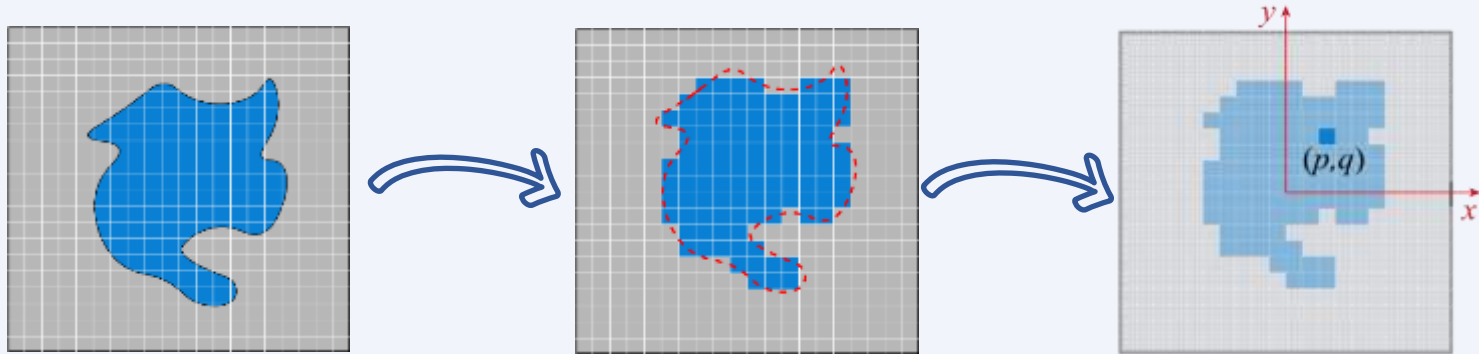
Les fonctions de forme par l'intégration sur  $\Omega_j$  est difficile pour une géométrie complexe !

$$\alpha(\mathbf{r}) = \sum_{\mathbf{G}_M} \alpha_{\mathbf{G}_M} e^{i\mathbf{G}_M \cdot \mathbf{r}} \quad \alpha_{\mathbf{G}_M} = \sum_{j=1}^J \alpha_{(j)} F_j(\mathbf{G}_M) \quad F_j(\mathbf{G}_M) = \frac{1}{A} \int_{\Omega_j} e^{-i\mathbf{G}_M \cdot \mathbf{r}} d\mathbf{r}$$

La **rastérisation** conduit à un « maillage » **toujours rectiligne**, composé de « **mailles carrées** » **identiques**: les fonctions de forme sont **simples** et **pré-déterminées**.

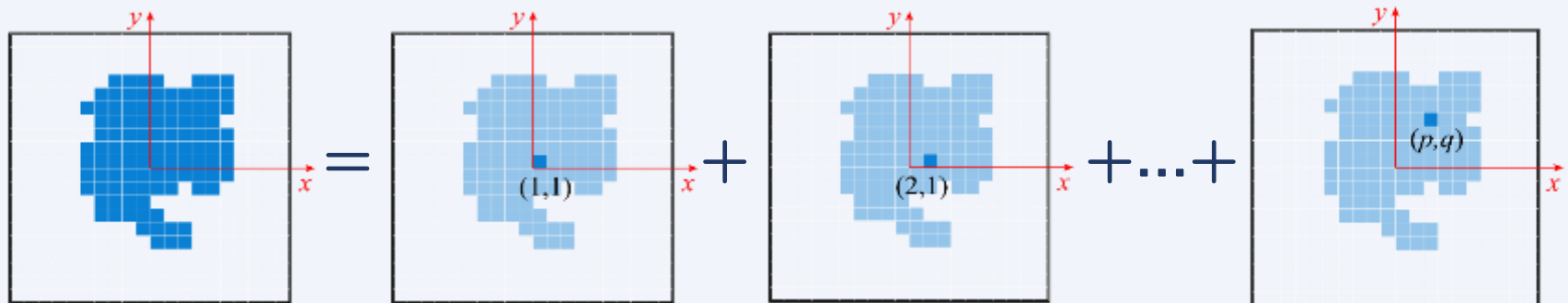
# Décomposition en onde plane par rastérisation (DOP-R)

**Algorithme** de rastérisation implémenté : Projeter la géométrie sur un domaine maillé, puis identifier les mailles en fonction des phases de matériau.



**Approximation de la fonction de forme, pour la phase - j :**

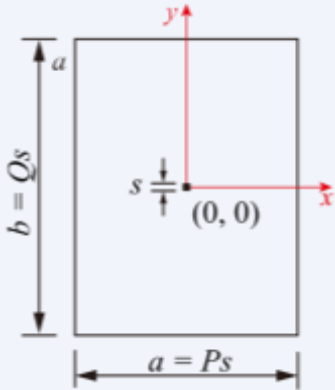
$$F_j(\mathbf{G}_{(M,N)}) = \frac{1}{A} \iint_{\Omega_j} e^{-i\mathbf{G}_{(M,N)} \cdot \mathbf{r}} d\mathbf{r} = \frac{1}{A} \iint_{\sum \Omega_j(p,q)} e^{-i\mathbf{G}_{(M,N)} \cdot \mathbf{r}} d\mathbf{r} = \sum_{\Omega_j} F_{(p,q)}(\mathbf{G}_{(M,N)}),$$



# Décomposition en onde plane par rastérisation (DOP-R)

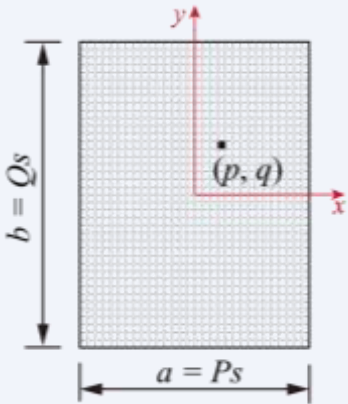
## Fonction de forme générale par translation de la maille élémentaire

Pour une maille élémentaire située à  $(0, 0)$



$$F_{(0,0)}(\mathbf{G}_{(M,N)}, s) = \frac{1}{A} \begin{cases} s^2 & \text{for } G_x = 0, G_y = 0, \\ \frac{2s}{G_x} \sin\left(\frac{G_x s}{2}\right) & \text{for } G_x \neq 0, G_y = 0, \\ \frac{2s}{G_y} \sin\left(\frac{G_y s}{2}\right) & \text{for } G_x = 0, G_y \neq 0, \\ \frac{4}{G_x G_y} \sin\left(\frac{G_x s}{2}\right) \sin\left(\frac{G_y s}{2}\right) & \text{for } G_x \neq 0, G_y \neq 0. \end{cases}$$

Pour une maille située à  $(p, q)$



$$F_{(p,q)}(\mathbf{G}_{(M,N)}, s) = [\cos(G_x p^* s + G_y q^* s) - i \sin(G_x p^* s + G_y q^* s)] F_{(0,0)}(\mathbf{G}_{(M,N)}, s),$$

avec

$$q^* = \begin{cases} q & \text{if } Q \text{ is odd,} \\ q - 0.5 \operatorname{sgn}(q) & \text{if } Q \text{ is even,} \end{cases}$$

$$p^* = \begin{cases} p & \text{if } P \text{ is odd,} \\ p - 0.5 \operatorname{sgn}(p) & \text{if } P \text{ is even,} \end{cases}$$

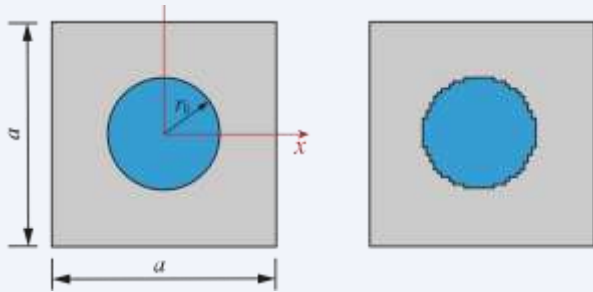
Fonction de forme unique, à expression paramétrée.

$$F_j(\mathbf{G}_{(M,N)}) = \sum_{(p,q) \in \Omega_j} F_{(p,q)}(\mathbf{G}_{(M,N)}, s)$$

Expression **générale** et **indépendante de la microstructure**, de sa taille, forme géométrique, etc.

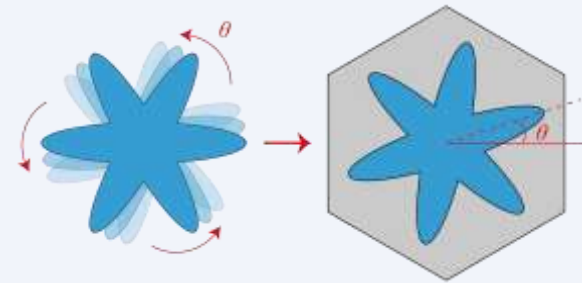
## Cas exemples

### 1. Validation



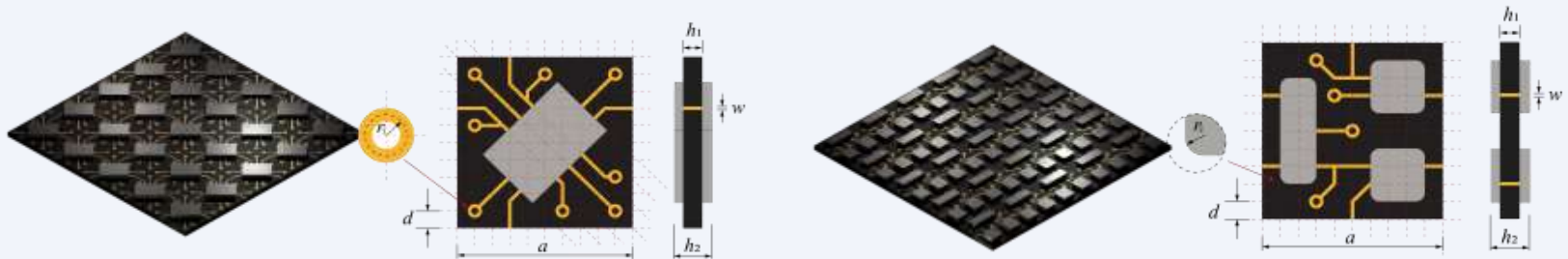
Comparaison DOP et DOP-R

### 2. Application à un modèle de plaque



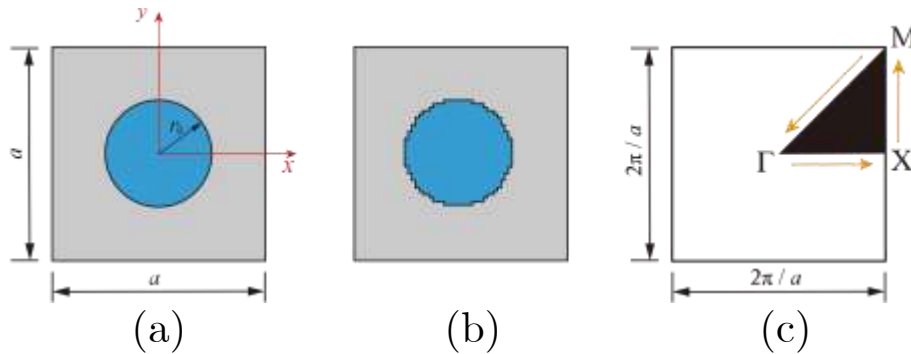
Géométrie avec courbure, domaine non carré entraînant périodicité plus complexe.

### 3. Application sur quelques modèles de plaque plus complexe



Géométrie avec courbure, en forme de filament fin, difficile à traiter avec un maillage rectiligne. Modèle de plaque avec épaisseur non-uniforme. Matériaux à 3 phases.

## Cas 1 - Validation



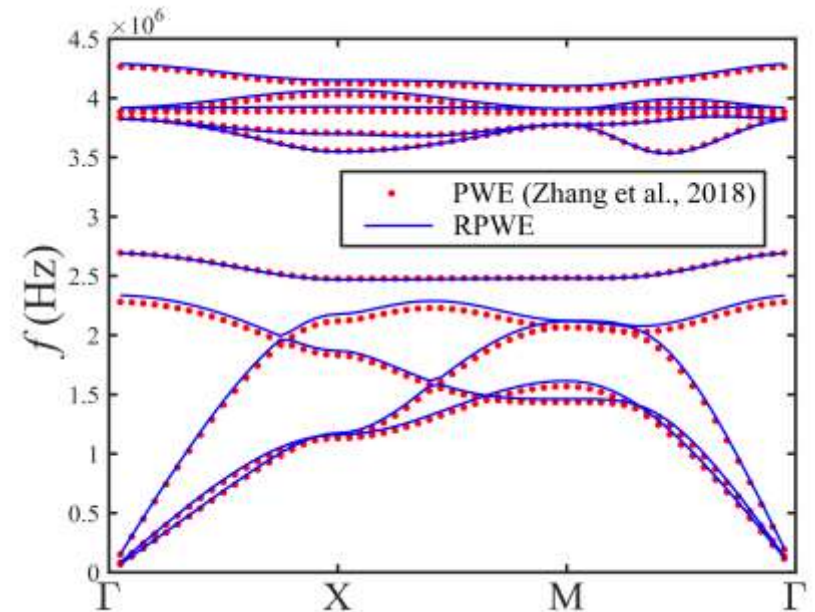
The 2-D two-phase phononic crystal with circular inclusions: (a) the unit cell, (b) rasterized unit cell, (c) the first irreducible Brillouin zone.

Fonction de forme  
Méthode DOP

$$F(\mathbf{G}_M) = \frac{2V_f^{(1)} J_1(|\mathbf{G}_M| r_0)}{|\mathbf{G}_M| r_0}$$

Fonction de forme  
Méthode DOP-R

$$F_j(\mathbf{G}_M) = \sum_{(p,q) \in \Omega_j} F_{(p,q)}(\mathbf{G}_M, \mathbf{s})$$



Band structure of the 2-D phononic crystal with circular inclusions predicted by the RPWEM and the CPWEM

## Cas 2 – Cristal phononique à cellule hexagonale

Equation d'équilibre intégrant les effets d'onde dans le plan et hors-plan

$$\begin{bmatrix} \rho & & \\ & \rho & \\ & & \rho \end{bmatrix} \begin{Bmatrix} \ddot{u}_1 \\ \ddot{u}_2 \\ \ddot{u}_3 \end{Bmatrix} + \begin{bmatrix} K_{11} & K_{12} & 0 \\ K_{21} & K_{22} & 0 \\ 0 & 0 & K_{33} \end{bmatrix} \begin{Bmatrix} u_1 \\ u_2 \\ u_3 \end{Bmatrix} = 0$$

avec

$$K_{11} = \frac{\partial}{\partial x} \left( S_1 \frac{\partial}{\partial x} \right) + \frac{\partial}{\partial y} \left( S_3 \frac{\partial}{\partial y} \right),$$

$$K_{12} = \frac{\partial}{\partial x} \left( S_2 \frac{\partial}{\partial y} \right) + \frac{\partial}{\partial y} \left( S_3 \frac{\partial}{\partial x} \right),$$

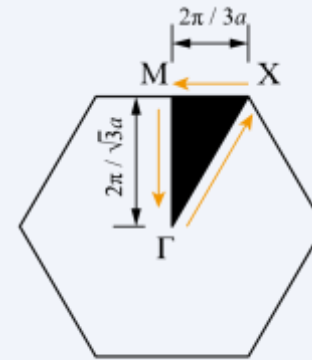
$$K_{21} = \frac{\partial}{\partial x} \left( S_3 \frac{\partial}{\partial y} \right) + \frac{\partial}{\partial y} \left( S_1 \frac{\partial}{\partial x} \right),$$

$$K_{22} = \frac{\partial}{\partial x} \left( S_3 \frac{\partial}{\partial x} \right) + \frac{\partial}{\partial y} \left( S_1 \frac{\partial}{\partial y} \right),$$

$$K_{33} = \frac{\partial}{\partial x} \left( S_3 \frac{\partial}{\partial x} \right) + \frac{\partial}{\partial y} \left( S_3 \frac{\partial}{\partial y} \right),$$

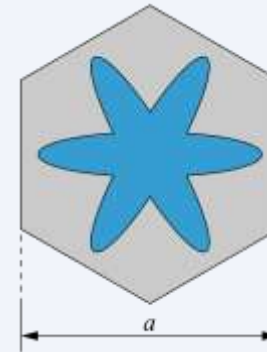
et

$$S_1 = \lambda + 2\mu, \quad S_2 = \lambda, \quad S_3 = \mu.$$

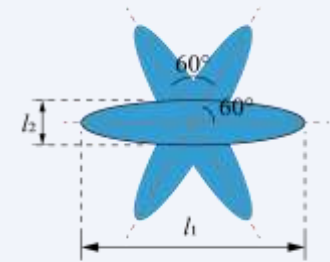


(a)

(a) La zone de Brillouin irréductible



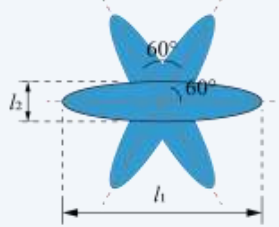
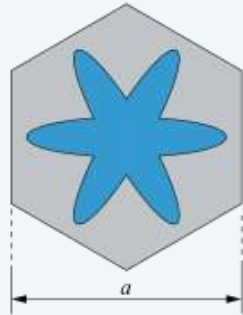
(b)



(c)

Le cristal phononique en considération avec sa cellule unitaire (b) et son inclusion (c).

## Cas 2 – Cristal phononique à cellule hexagonale



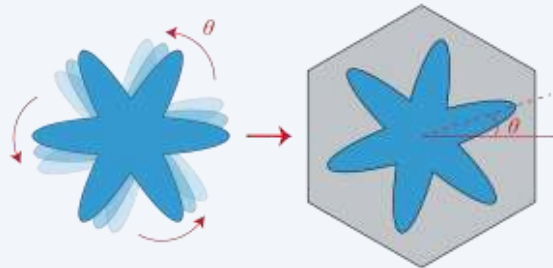
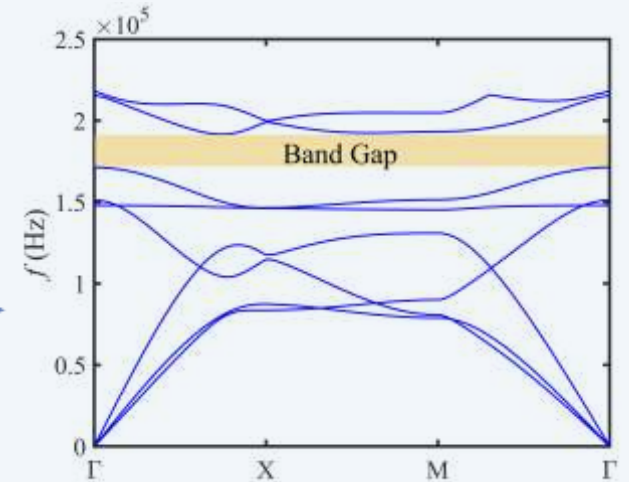
Paramètres géométriques

$$\theta = 0, \quad a = 10\text{mm}$$

$$l_1 = \sqrt{3}a/2, \quad l_2 = \sqrt{3}a/10$$



Maillage 600x693



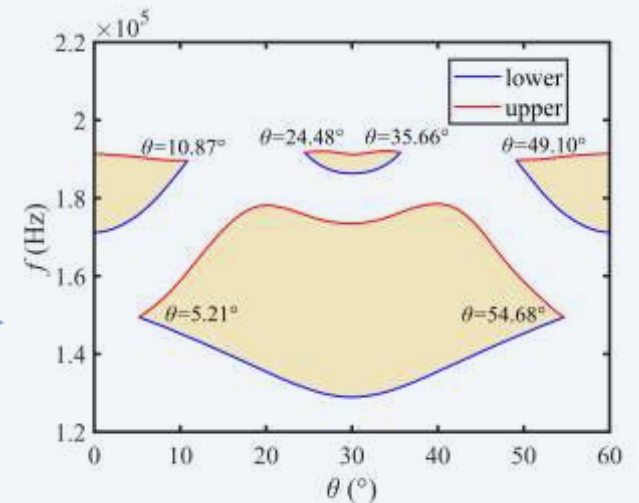
Paramètres géométriques

$$\theta = [0, 60^\circ], \quad a = 10\text{mm}$$

$$l_1 = \sqrt{3}a/2, \quad l_2 = \sqrt{3}a/10$$



Maillage 600x693



## Cas 3 – Vibration d'un circuit intégré par un modèle de plaque Mindlin

Equation d'équilibre intégrant les effets hors-plan et de rotation

$$\begin{bmatrix} K_{11} & K_{12} & K_{13} \\ K_{21} & K_{22} & K_{23} \\ K_{31} & K_{32} & K_{33} \end{bmatrix} \begin{Bmatrix} w \\ \phi_x \\ \phi_y \end{Bmatrix} = \begin{bmatrix} M_{11} & & \\ & M_{22} & \\ & & M_{33} \end{bmatrix} \begin{Bmatrix} \ddot{w} \\ \ddot{\phi}_x \\ \ddot{\phi}_y \end{Bmatrix},$$

avec

$$K_{11} = \frac{\partial}{\partial x} \left( S_1 \frac{\partial}{\partial x} \right) + \frac{\partial}{\partial y} \left( S_1 \frac{\partial}{\partial y} \right), K_{12} = -S_1 \frac{\partial}{\partial x}, K_{13} = -S_1 \frac{\partial}{\partial y},$$

$$K_{21} = S_1 \frac{\partial}{\partial x}, K_{22} = \frac{\partial}{\partial x} \left[ (S_2 + 2S_3) \frac{\partial}{\partial x} \right] + \frac{\partial}{\partial y} \left( S_3 \frac{\partial}{\partial y} \right) - S_1,$$

$$K_{23} = \frac{\partial}{\partial x} \left( S_2 \frac{\partial}{\partial y} \right) + \frac{\partial}{\partial y} \left( S_3 \frac{\partial}{\partial x} \right), K_{32} = \frac{\partial}{\partial y} \left( S_2 \frac{\partial}{\partial x} \right) + \frac{\partial}{\partial x} \left( S_3 \frac{\partial}{\partial y} \right),$$

$$K_{31} = S_1 \frac{\partial}{\partial y}, K_{33} = \frac{\partial}{\partial y} \left[ (S_2 + 2S_3) \frac{\partial}{\partial y} \right] + \frac{\partial}{\partial x} \left( S_3 \frac{\partial}{\partial x} \right) - S_1,$$

$$M_{11} = m_0, M_{22} = m_0, M_{33} = m_2,$$

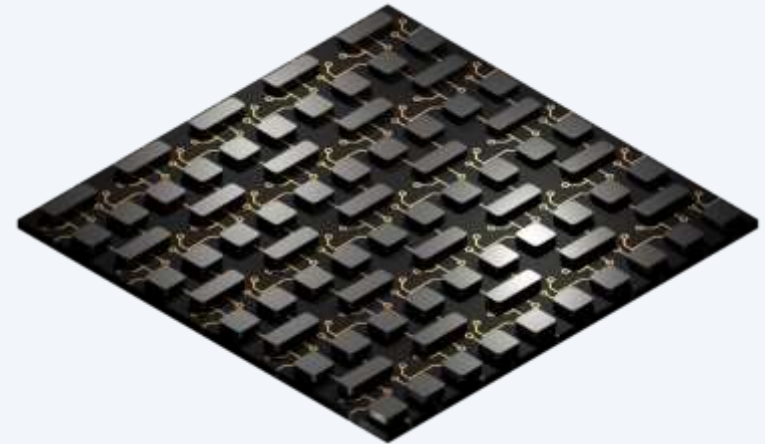
et

$$S_1 = k_s h \mu, \quad S_2 = \frac{h^3}{12} \lambda, \quad S_3 = \frac{h^3}{12} \mu,$$

$$m_0 = \rho h, m_2 = \frac{\rho h^3}{12}.$$

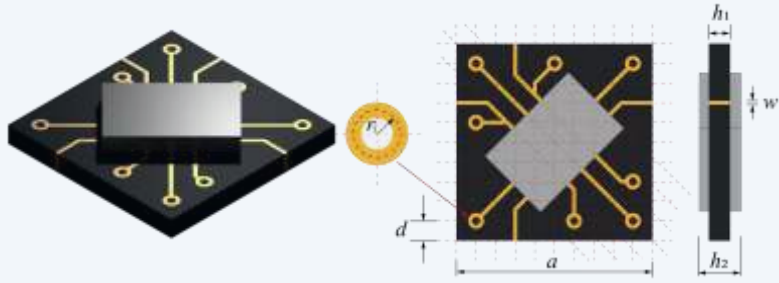


Exemple 1



Exemple 2

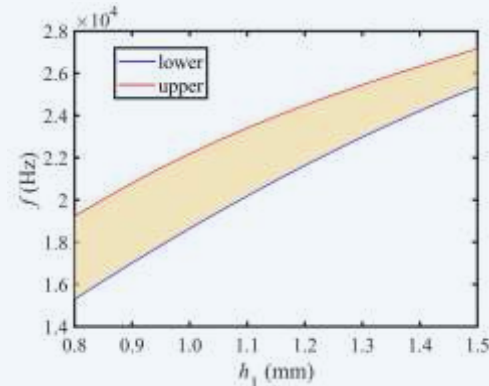
## Cas 3 – Vibration d'un circuit intégré par un modèle de plaque Mindlin



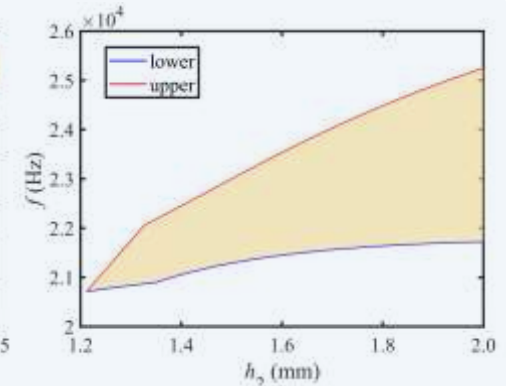
### Paramètres géométriques:

$a = 20 \text{ mm}$ ,  $w = 0,4 \text{ mm}$ ,  $r_1 = 0,6 \text{ mm}$   
On fait varier  $h_1$  et  $h_2$ .

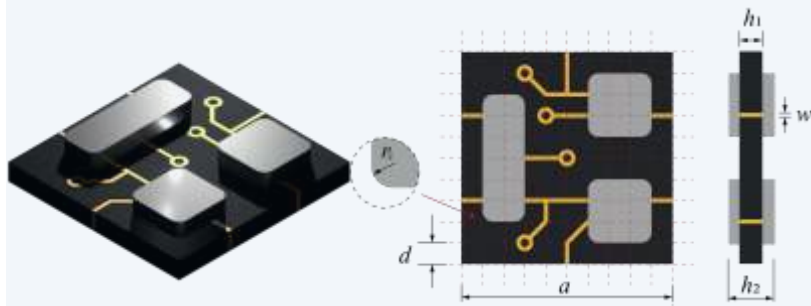
Maillage 200 x 200



$h_1$  varie entre 0,8 mm et 1,5 mm  
 $h_2 = 1,8 \text{ mm}$



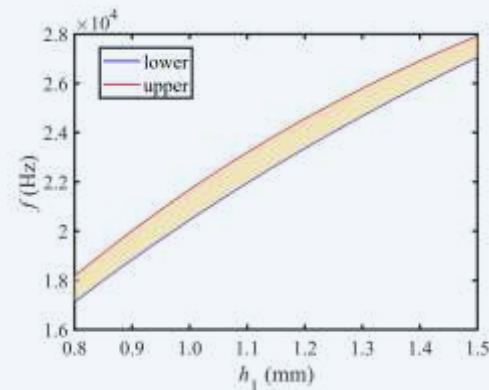
$h_1 = 1,2 \text{ mm}$   
 $h_2$  varie entre 1,2 mm et 2,0 mm



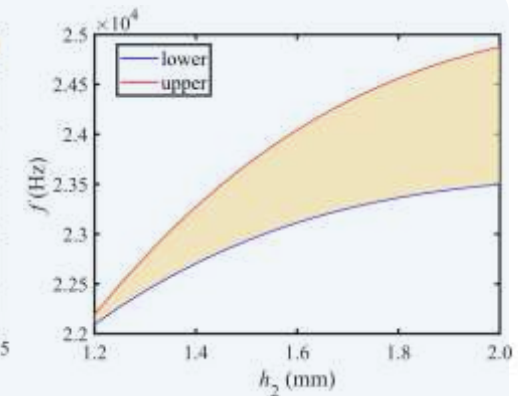
### Paramètres géométriques:

$a = 20 \text{ mm}$ ,  $w = 0,4 \text{ mm}$ ,  $r_1 = 1,0 \text{ mm}$   
On fait varier  $h_1$  et  $h_2$ .

Maillage 200 x 200



$h_1$  varie entre 0,8 mm et 1,5 mm  
 $h_2 = 1,8 \text{ mm}$

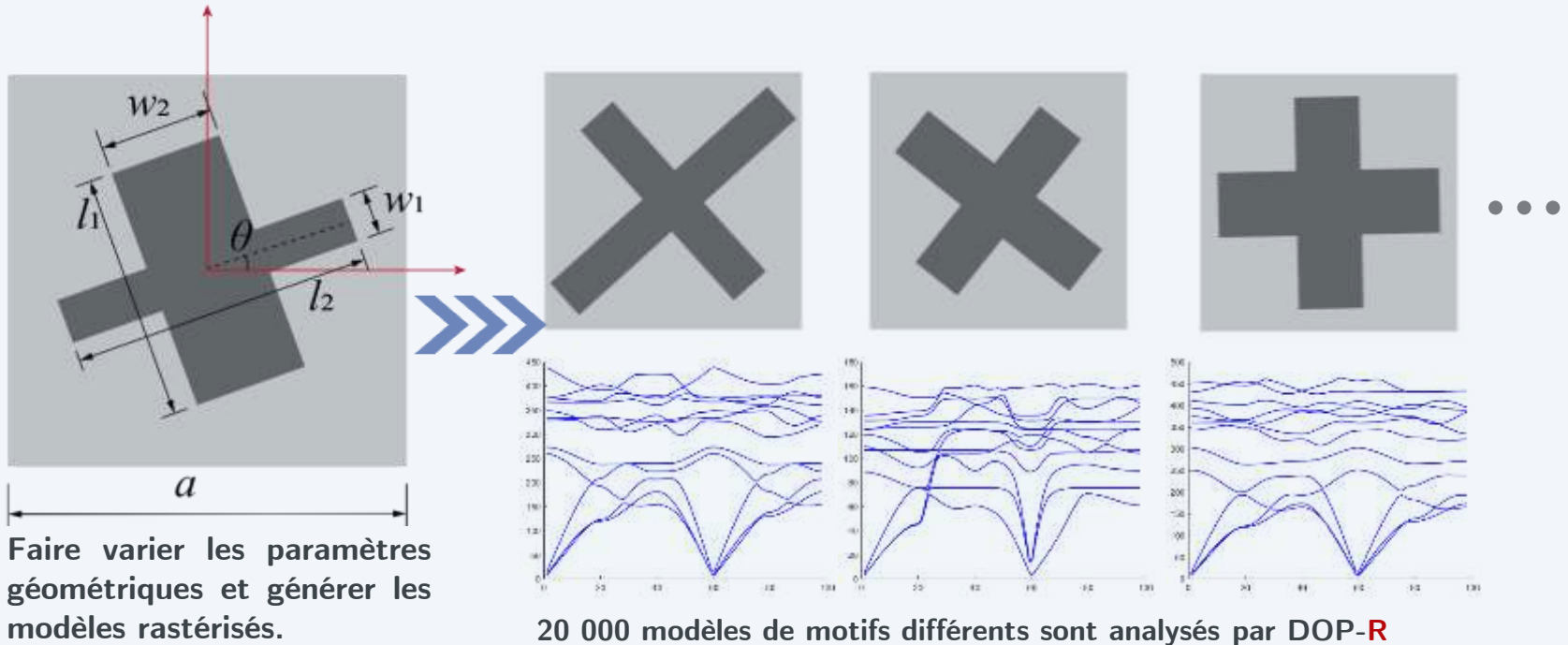


$h_1 = 1,2 \text{ mm}$   
 $h_2$  varie entre 1,2 mm et 2,0 mm

# Bandes interdites par la méthode DOP-R

## Cas d'application : génération de données résultats pour l'apprentissage automatique

Dans le cadre d'une étude de **conception de microstructure** par *machine learning*, le solveur **DOP-R** a montré une capacité intéressante pour produire des résultats en bande interdite de vibration, à partir de **20000 modèles** de motifs différents, le tout en un temps satisfaisant.



Temps de calcul avec un seul processeur Intel e-2176M, code Matlab

Nombre de modèles	1000	5000	10000	<b>20000</b>
Temps (jours)	1.46	7.65	16.71	<b>35.17</b>

Ce qui correspond à **7 jours** de calcul sur **5 proc.** disponibles sur un ordinateur portable (Intel e-2176M)

## Remarques et conclusions

Les deux principales stratégies en analyse des bandes interdites de vibration ont été étudiées : les méthode numérique et semi analytique.

Nous avons établi une comparaison de ces approches

	DOP	DOP-R	FEM
Accuracy and Convenience	√	√	√
Computing Costs	√	√	√
Complex Shape		√	√
Multiple Materials		√	√
Higher Order Elasticity Theory	√	√	√
Commercial Software		*	√

Les études portent sur la dynamique vibratoire linéaire. Nos travaux sont en cours pour tenter d'étudier les comportements vibratoires non linéaires.



**Merci de votre attention !**